

INSTITUTO FEDERAL DO RIO GRANDE DO NORTE  
CAMPUS NATAL - CENTRAL  
DIRETORIA DE GESTÃO E TECNOLOGIA DA INFORMAÇÃO  
TECNOLOGIA EM ANÁLISE E DESENVOLVIMENTO DE SISTEMAS

# **Título do trabalho**

**Jamillo G. da S. Santos**

Natal-RN  
Abril 2017

Jamillo G. da S. Santos

## Título

Trabalho de conclusão de curso de graduação do curso de Tecnologia e Análise em Desenvolvimento de Sistemas da Diretoria de Gestão e Tecnologia de Informação do Instituto Federal do Rio Grande do Norte como requisito parcial para a obtenção do grau de Tecnólogo em Análise e Desenvolvimento de Sistemas.

*Linha de pesquisa:*

Nome da linha de pesquisa

Orientador

Prof. Dr. Eduardo Braulio

TADS – CURSO DE TECNOLOGIA EM ANÁLISE E DESENVOLVIMENTO DE SISTEMAS  
DIATINF – DIRETORIA ACADÊMICA DE GESTÃO E TECNOLOGIA DA INFORMAÇÃO  
CNAT – CAMPUS NATAL - CENTRAL  
IFRN – INSTITUTO FEDERAL DO RIO GRANDE DO NORTE

Natal-RN

Abril 2017

Trabalho de Conclusão de Curso de Graduação sob o título *Título* apresentada por Nome completo do autor e aceita pelo Diretoria de Gestão e Tecnologia da Informação do Instituto Federal do Rio Grande do Norte, sendo aprovada por todos os membros da banca examinadora abaixo especificada:

---

Nome completo do orientador e titulação

Presidente

DIATINF – Diretoria Acadêmica de Gestão e Tecnologia da  
Informação

IFRN – Instituto Federal do Rio Grande do Norte

---

Nome completo do examinador e titulação

Examinador

Diretoria/Departamento

Instituto

---

Nome completo do examinador e titulação

Examinador

Diretoria/Departamento

Universidade

Natal-RN, data da defesa (dia, mês e ano).

Homenagem que o autor presta a uma ou mais pessoas.

# Agradecimentos

Agradecimentos dirigidos àqueles que contribuíram de maneira relevante à elaboração do trabalho, sejam eles pessoas ou mesmo organizações.

*Citação*

Autor

# Título do trabalho

Autor: Jamillo G. da S. Santos

Orientador(a): Prof. Dr. Eduardo Braulio

## RESUMO

O resumo deve apresentar de forma concisa os pontos relevantes de um texto, fornecendo uma visão rápida e clara do conteúdo e das conclusões do trabalho. O texto, redigido na forma impessoal do verbo, é constituído de uma sequência de frases concisas e objetivas e não de uma simples enumeração de tópicos, não ultrapassando 500 palavras, seguido, logo abaixo, das palavras representativas do conteúdo do trabalho, isto é, palavras-chave e/ou descritores. Por fim, deve-se evitar, na redação do resumo, o uso de parágrafos (em geral resumos são escritos em parágrafo único), bem como de fórmulas, diagramas e símbolos, optando-se, quando necessário, pela transcrição na forma extensa, além de não incluir citações bibliográficas.

*Palavras-chave:* Palavra-chave 1, Palavra-chave 2, Palavra-chave 3.

# Título do trabalho (em língua estrangeira)

Author: Jamillo G. da S. Santos

Supervisor: Prof. Doc. Eduardo Braulio

## ABSTRACT

O resumo em língua estrangeira (em inglês *Abstract*, em espanhol *Resumen*, em francês *Résumé*) é uma versão do resumo escrito na língua vernícula para idioma de divulgação internacional. Ele deve apresentar as mesmas características do anterior (incluindo as mesmas palavras, isto é, seu conteúdo não deve diferir do resumo anterior), bem como ser seguido das palavras representativas do conteúdo do trabalho, isto é, palavras-chave e/ou descritores, na língua estrangeira. Embora a especificação abaixo considere o inglês como língua estrangeira (o mais comum), não fica impedido a adoção de outras linguas (a exemplo de espanhol ou francês) para redação do resumo em língua estrangeira.

*Keywords:* Keyword 1, Keyword 2, Keyword 3.



# Lista de figuras

1	Orientação dos movimentos dos atuadores . . . . .	p. 18
2	Diagrama de orientação dos atuadores de Arash . . . . .	p. 19
3	Diagrama da direção das velocidades da caminhada omnidirecional . . .	p. 22
4	Diagrama da visão superior da estrutura de Arash que representa da equação 3.14 até 3.17 . . . . .	p. 25
5	Diagrama da visão frontal de Arash que representa da equação 3.18 até 3.22	p. 26
6	Diagrama da visão lateral de Arash que representa da equação 3.18 até 3.22	p. 27
7	Visão simplificada da arquitetura do sistema e seus fluxos. . . . .	p. 29
8	Diagrama de sequência do componente de visão. . . . .	p. 30
9	Diagrama de sequência do controlador de comportamento e suas depen- dências. . . . .	p. 31
10	Diagrama de sequência do <i>walking gait</i> e do leitor de orientação. . . . .	p. 32
11	Diagrama de orientação dos atuadores de Arash. . . . .	p. 33
12	Diagrama de sequência simplificado com as modificações na arquitetura.	p. 34
13	Comando de controle exemplo em JSON. . . . .	p. 35
14	Diagrama de domínio do <i>walking gait</i> . . . . .	p. 36
15	Diagrama de sequência simplificado do motor de caminhada. . . . .	p. 37
16	Fragmento do diagrama de classe da hierarquia dos atuadores. . . . .	p. 37

# Lista de tabelas

# Lista de abreviaturas e siglas

ARASH – *Anthropomorphic Robot Augmented with Sense of Human*, em livre tradução  
Robô Antropomórfico Aumentado com Sentido de Ser Humano

DOF – Do inglês *Degrees Of Freedom*, ou graus de liberdade

CoM – Centro de massa, do inglês *Center of Mass*

IK – conhecido como *Inverse Kinematics*, ou cinemática inversa

ROS – *Robot Operating System*

IA – Inteligência artificial

IMU – do inglês *Inertia Measurement Unit*

IDE – do inglês *integrated development environment*

PID – do inglês *Porportional Integral Derivative*

TTL – Do inglês *transistor-transistor logic*

USB – *Universal Serial Bus*

JSON – *Java Script Object Notation*

# Sumário

<b>1</b>	<b>Introdução</b>	p. 13
1.1	Organização do trabalho . . . . .	p. 16
<b>2</b>	<b>Arash</b>	p. 17
2.0.1	Graus de Liberdade e Atuadores . . . . .	p. 18
<b>3</b>	<b>A matemática dos movimentos</b>	p. 21
3.1	Orientação . . . . .	p. 23
3.2	Geração da trajetória . . . . .	p. 23
3.3	Cinemática Inversa . . . . .	p. 24
<b>4</b>	<b>Arquitetura</b>	p. 28
4.1	Componentes e arquitetura atual . . . . .	p. 28
4.1.1	Visão . . . . .	p. 30
4.1.2	Controlador de Comportamento . . . . .	p. 31
4.1.3	<i>Walking Gait</i> e Leitor de Orientação . . . . .	p. 31
4.2	A nova arquitetura . . . . .	p. 32
4.3	<i>Walking gait</i> . . . . .	p. 34
4.3.1	Servidor de controle . . . . .	p. 35
4.3.2	Motor de caminhada . . . . .	p. 36
4.3.3	Atualizador de juntas . . . . .	p. 37
<b>5</b>	<b>Capítulo 5</b>	p. 38

<b>6</b>	<b>Considerações finais</b>	p. 39
6.1	Principais contribuições . . . . .	p. 39
6.2	Limitações . . . . .	p. 39
6.3	Trabalhos futuros . . . . .	p. 39
	<b>Referências</b>	p. 40
	<b>Apêndice A – Primeiro apêndice</b>	p. 41
	<b>Anexo A – Primeiro anexo</b>	p. 42
	<b>Todo list</b>	p. 43

# 1 Introdução

## GUIA:

---

- Contexto
  - Motivação
  - O problema
  - Soluções similares
  - Solução proposta
- 

**DRAFT:** Nos dias atuais, a robótica está cada vez mais avançada e acessível. Seja em um pequeno robô aspirador de pó autônomo - que até mesmo retorna à estação de recarregamento quando sua bateria está fraca - ou nos sofisticados robôs que automatizam a fabricação de carros, aumentando a produção e diminuindo o custo. E eles vem em todos os tamanhos e formas.

Vivemos em um mundo feito e projetado para humanos. De escadas, portas, e até ferramentas como furadeiras, ou até o mouse são pensados para o uso diário de uma forma humanoide. Desta forma, nada mais obvio que projetar um robô humanoide que adapte-se de forma natural a este ambiente. Porém, a forma humanoide impõe diversos desafios de controle, basta uma breve busca no YouTube por "darpa challange fails".

## GUIA:

---

Falar das dificuldades na robótica humanoide e fazer uma contextualização da caminhada citando alguns trabalhos recentes.

---

Normali-  
to-  
das  
as  
no-  
men-  
cla-  
tu-  
ras  
do  
wal-  
king  
gait,  
as  
ve-  
zes  
chama-  
se  
sis-  
tema,

Em um esforço mútuo, as universidades *Amirkabir University of Technology* (AUT), do Irã, e a *University of Manitoba* (UofM), do Canadá, trabalham juntas para participar da Robocup - competição internacional de futebol de robôs cujo o objetivo é derrotar a seleção campeã mundial na copa de 2050. Nas edições 2015 e 2016, realizada em Hefei (China) e Leipzig (Alemanhã), o sistema que controlou a caminhada de *Arash*; um robô humanóide de 100cm de altura rendeu o 3º lugar na modalidade de futebol em ambos os anos. Também, os 2º e 1º lugar no modalidade do desafio técnico em 2015 e 2016.

Desenvolvido utilizando placa microcontroladora *OpenCM 9.04*, compatível com Arduino, e batizado de *AUT-UofM-Walk-Engine*, o sistema de caminhada foi um dos grandes responsáveis pelo bom desempenho. Entretanto, o fato de rodar dentro da *OpenCM9.04* traz uma série de consequências não desejáveis ao palco.

Inicialmente, sendo um sistema complexo, a caminhada deve ser configurada para cada tipo de superfície. As configurações de uma superfície lisa e áspera, como concreto, podem ser bastante diferentes das configurações para caminhar num terreno como a grama artificial utilizada na Robocup. Essas mudanças nas configurações são determinantes para o bom equilíbrio do robô. Com mais de 100 parâmetros, esse processo de configuração requer muito tempo e paciência.

O primeiro problema com a implementação atual é que a configuração se dá através de alterações diretas dos valores dos parâmetros no código-fonte, em seguida compila-se, envia-se a nova versão à *OpenCM9*. Em seguida, inicializa-se o robô e verifica-se a caminhada. Além de massante, este esquema de atualização não favorece uma forma sadia de manter as alterações dos parâmetros organizada. Há uma frequente perda de quais valores de parâmetros são melhores para qual tipo de situação. Uma solução seria criar subversões do sistema para cada cenário, o que desfavorece a correção de *BUGs* e melhorias, já que cada modificação deve ser refletida em várias versões. Uma segunda possibilidade seria criar uma interface de comunicação entre um computador, que funcionaria como um gerenciador, e o *walking gait* via USB. Assim, o computador poderia guardar arquivos de configurações que seriam enviados à placa microcontroladora a medida que fossem necessários, o que seria uma saída simples e eficaz, mas não definitiva, tendo em vista outros problema citados abaixo.

O segundo problema com o *walking gait* atual é a dificuldade de implementação de simulações, testes e depuração. A única forma de obter visualização da saída gerada é através do *console serial* da IDE de programação, o que torna o processo de depuração um exercício de abstração com visualização de ângulos em 3 dimensões, ou arriscar-se

Introduz  
a ex-  
pres-  
são  
wal-  
king  
gait.

aplicando a saída direto aos motores, de alto custo. Em relação a simulação, ela seria até possível, porém seria necessária mais um dispositivo *OpenCM9.04* e algumas modificações no código original para que ele possa ser acoplado a algum framework de simulação de robôs.

O terceiro problema é a forma em que o paradigma estruturado foi utilizada no sistema. A complexidade do sistema implica para uma baixa curva de assimilação do funcionamento em um paradigma orientado a objetos ajudaria consideravelmente na compreensão dos mecanismos dentro do *walking gait*, quais os seus papéis e como eles se comunicam.

O quarto problema é a natureza multi-processada do sistema. "Ao mesmo tempo" em que ângulos devem ser enviados aos motores, a leitura dos sensores devem ser processadas e levadas em consideração para as próximas iterações. No *OpenCM0.04*, esse paralelismo é habilitado através da biblioteca *MapleFreeRTOS*. O fato de já haver muito processamento para rodar o sistema atual limita uma grupo de melhorias a serem desenvolvidas, o que poderia levar a próxima geração de robôs ainda mais estáveis.

Por fim, o quinto problema, que também limita o desenvolvimento da próxima geração, é o tamanho da memória ROM, que guarda o *walking gait*, da placa microcontroladora. Atualmente, o *firmware* da *OpenCM9.04* já foi modificado, via remoção de funções não utilizadas, para diminuir seu tamanho e assim liberar espaço para a versão do sistema.

Dadas, os problemas encontrados no funcionamento do sistema atual, e as considerações listadas até agora, este trabalho propõe mover a execução do componente *walking gait* do microcontrolador *OpenCM09.04* para o computador. Para o projeto da solução, foi levada em consideração dois aspectos importantes: o desempenho e a interface de comunicação com os motores, decidindo-se assim pela adoção da linguagem *C++* versão 14. Um fator bastante importante foram os recursos da linguagem que vão prover uma arquitetura bem simples e eficiente.

Desta forma, este trabalho tem como objetivo a implementação de uma versão funcional do *walking gait*, melhorando o código atual - de forma a diminuir a curva de aprendizado, assim estimulando novas extensões e otimizações - com uma nova arquitetura orientada a objetos.

Convers  
com  
o  
ori-  
en-  
ta-  
dor  
so-  
bre  
a  
lista



## 1.1 Organização do trabalho

Descrever os capítulos e seções.

Após  
con-  
clu-  
são  
es-  
cre-  
ver  
esta  
parte.

## 2 Arash

ARASH (*Anthropomorphic Robot Augmented with Sense of Human*, em português Robô Antropomórfico Aumentado com Sentido de Ser Humano), é um robô de 7,5 Kg e 1 metro de altura. Possuindo 20 graus de liberdade (ou DOF , do inglês *degrees of freedom*), ele tenta imitar a configuração humana, tanto em suas juntas quanto em suas proporções. Em suas juntas, Arash possui motores MX-28, MX-64 e MX-106 (da Robotis Co), dependendo da carga suportada. Como controlador principal, um computador *mini-box* é utilizado em conjunto com uma placa microcontroladora *OpenCM9.04* que serve de interface entre o controlador principal e os motores (SADEGHNEJAD et al., 2016).

**DRAFT:** A caminhada de robôs com pernas vem sendo desenvolvida desde da década de 70, quando Kato e Vukobratovic praticamente iniciaram este campo de estudo (KAJITA; ESPIAU, 2008).

**DRAFT:** No desenvolvimento de qualquer *walking gait*, é necessário a estratégia de equilíbrio entre estática ou dinâmica. Cada estratégia tem suas vantagens e desvantagens. Todavia, o equilíbrio dinâmico vem sendo mais aceito dentre os pesquisadores.

**DRAFT:** O equilíbrio estático mantém o centro de massa, ou CoM – do inglês *Center of Mass* – sempre sob a superfície de apoio do robô. Uma enorme desvantagem é que as velocidades alcançadas são bem lentas, tendo em vista que o movimento produzido para a caminhada não deve gerar inercia suficiente para deslocar o CoM fora da área esperada. Geralmente observa-se pés maiores em robôs que adotam este tipo de caminhada (MILLER, 1994).

**DRAFT:** Ainda segundo Miller, o equilíbrio dinâmico, considera a dinâmica do movimento da caminhada, as inércias das partes que movem-se. Com isto, ela habilita

Reescreva esta des-graça

Introduza os conceitos de equilíbrio estático e di-

o CoM movimentar-se para fora do ponto de apoio, mantendo o robô em uma espécie de “queda controlada”. Assim, ela habilita maiores velocidades de caminhada com maior eficiência.

**DRAFT:** Durante qualquer tarefa envolvendo locomoção é necessária uma maneira de controlar o *walking gait* de forma a direcionar o robô ao destino escolhido. Uma das formas utilizadas são movimentos pré-definidos que executam ações específicas. Assim, essas ações são sequenciadas de forma a levar o robô até seu destino. Por exemplo, dar um passo a frente, um passo lateral à esquerda, girar  $30^\circ$  à direita. A desvantagem deste método é que cada ação deve ser executada em sequência, o que pode levar a menos agilidade.

**DRAFT:** Uma segunda forma de controle é a chamada caminhada omnidirecional que consiste em controlar o robô por velocidades em diferentes eixos. Essas mudanças podem ser realizadas com o robô em movimento, sem a necessidade de encadeamento de ações. Adicionalmente, existe a possibilidade de combinar movimentos em diferentes eixos ao mesmo tempo criando novas possibilidades de locomoção e aumentando a agilidade do robô.

## 2.0.1 Graus de Liberdade e Atuadores

### PARAGRAFO INTRODUTÓRIO.

Os DOFs são o número de parâmetros de posições independentes que definem a configuração de uma sistema mecânico (CRAIG, 1989) e tão importante quanto sua configuração é a sua orientação para que os cálculos funcionem como o esperado. A inversão de qualquer orientação entre o modelo matemático e o modelo real causará uma inversão durante a caminhada, causando reações inesperadas e possíveis danos aos motores.

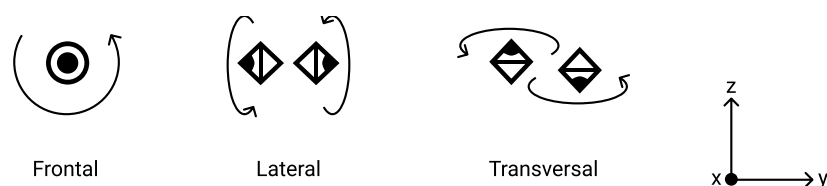


Figura 1: Orientação dos movimentos dos atuadores

A figura 1 exhibe as possíveis orientações dos atuadores que são referenciadas ao longo

Adiciona  
um  
pa-  
rá-  
grafo  
in-  
tro-  
du-  
tório.

do trabalho como frontal, lateral e transversal.

Atuadores com orientação frontal – ou simplesmente, atuadores frontais – propiciam rotação orientada pelo eixo  $X$ , que está aponta para o leitor (para fora do papel). Esse tipo de rotação também é referida como *roll*.

Atuadores laterais apontam para direita ou esquerda. Eles apresentam rotação com base no eixo  $Y$  (plano  $XZ$ ), também conhecida como rotação *pitch*. Analogamente, atuadores transversais apontam para cima ou baixo, com base no eixo  $Z$  (plano  $XY$ ), com movimento de rotação conhecido como *yaw*.

Na figura 2, observa-se o esquema de orientação dos atuadores aplicada no diagrama das juntas de Arash. Ainda na mesma figura, os “triângulos pretos preenchidos” representam apenas o fim de uma cadeia de atuadores. Assim, estes símbolos representam as mãos, que não possuem atuadores, e a ponta da cabeça, onde encontra-se a câmera.

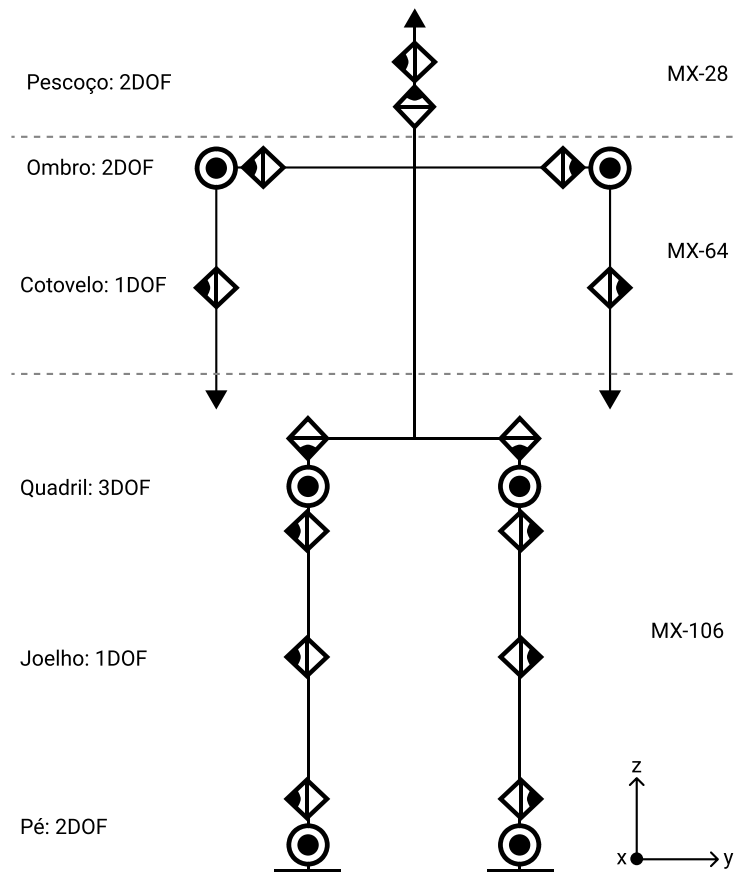


Figura 2: Diagrama de orientação dos atuadores de Arash

Em Arash, todos os atuadores utilizados são produzidos pela Robotics.Co. Porém, devido a variação de carga nas diversas juntas, foram utilizados diferentes modelos da série MX. Esta decisão de projeto diminui bastante o custo final do robô.

No pescoço, onde a carga é bem leve, “MX-28” são suficientes. Dois atuadores, um na posição transversal (o atuador mais baixo) que fornece o movimento panorâmico a cabeça e outro na posição horizontal, fornecendo o movimento de inclinação vertical da cabeça.

Nos braços, que podem sofrer uma carga maior, atuadores “MX-64” são utilizados. Isso é importante já que existem modalidades de competições, como o levantamento de peso, que testam a capacidade do carregamento de cargas.

Para as pernas, foram utilizados atuadores “MX-106” que são mais poderosos que os anteriores. Entretanto, na fase de projeto, simulações mostraram que durante o movimento de levantar-se do chão (em caso da recuperação de uma possível queda), o torque nas juntas do joelho era levado ao máximo suportado pelo “MX-106”, podendo assim levar este motor à falha. Desta forma, 2 atuadores sincronizados passaram a formar esta junta, afim de compartilhar a carga sofrida entre dois motores. Esta junta dupla não oferece nenhum impacto na implementação, já que os motores da série “MX-106” oferecem a capacidade de serem ligados e sincronizados via *hardware*. Assim, a nível de software controla-se apenas 1 único atuador. Desta forma, apesar das 20 DOF, Arash possui 22 motores.

### 3 A matemática dos movimentos

Para caminhar, Arash move suas juntas de uma forma sincronizada mantendo o equilíbrio. É um processo contínuo onde cada passo é planejado e possíveis perturbações são compensadas, o mais breve possível, afim de preservar a trajetória e evitar quedas.

O processo de caminhada é dividido em ciclos. Cada ciclo é dado pelo movimentos de passo da perna direita seguido pelo movimento da perna esquerda. O caminho percorrido pelos pés, suas posição e rotação, é predeterminado pelo *walking gait* e é referido como trajetória.

A cada momento no tempo do ciclo – levando em consideração também outras variáveis – a trajetória fornece a posição e rotação de ambos os pés de Arash. A frequência de cada ciclo é definida por um relógio central definido no intervalo exibido na equação 3.1, sendo  $t$  o tempo do ciclo atual da caminhada.

$$0 \leq t < \pi \quad (3.1)$$

No conceito de caminhada omnidirecional são utilizadas 3 velocidades afim de controlar a direção e velocidade do robô.  $V_x$  é a velocidade em direção à frente, com valores positivos para a frente e negativos para caminhar de costas.  $V_y$  é a velocidade lateral com onde passos para o lado são definidos com valores positivos implicando em movimentos laterais à direita.  $V_\theta$  é a velocidade de rotação por passo com valores positivos indicando rotação também à direita.

Na figura 3 é possível observar o diagrama com as posições dos pés e torso de Arash. Em azul estão ambos os pés e torso de Arash no início do ciclo de caminhada, quando  $t$  é 0. Em cinza, vê-se o pé direito e sua posição projetada quando  $t$  vale  $\pi$  (ou seja, metade do ciclo). Nota-se o deslocamento frontal em  $V_x$ , um deslocamento lateral em  $V_y$  e um deslocamento angular em  $V_\theta$  do torso, bem como do pé direito (afetado pela primeira metade do ciclo).

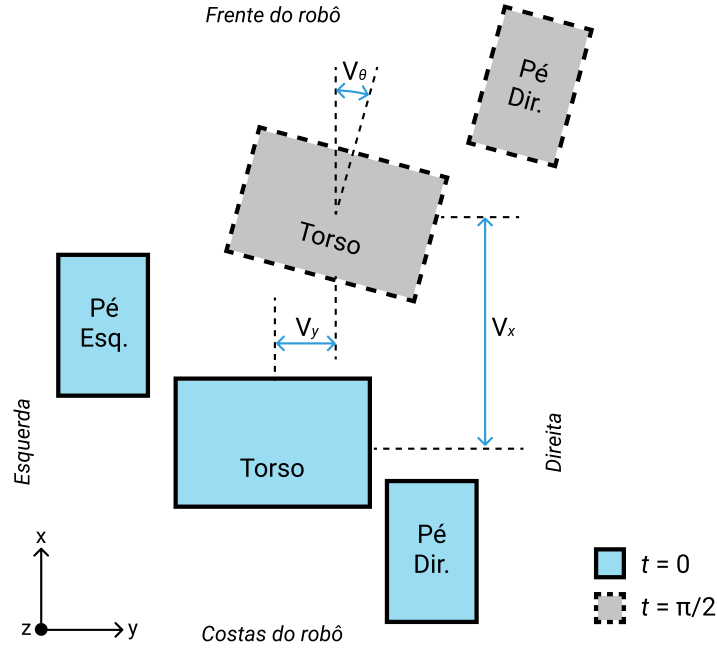


Figura 3: Diagrama da direção das velocidades da caminhada omnidirecional

Como mostra as equações 3.2, valores normalizados entre  $-1.0$  e  $1.0$  são utilizados para indicar as velocidades. Adotando-se  $0.0$  como velocidade nula, ou sem movimento,  $1.0$  como valor de velocidade máxima e  $-1.0$  como valor de velocidade máxima no sentido oposto. Valores normalizados foram adotados para abstrair valores de velocidades absolutos já que futuras aplicações deste trabalho podem utilizar diferentes configurações de robôs. Desta forma, o controlador de comportamento pode abstrair a configuração do robô que está sendo controlado e enviando velocidades relativas. Adicionalmente, valores normalizados provém a integração perfeita entre as funções trigonométricas para a definição das trajetórias senoidais adotadas por *Kamiri et al.*

$$-1.0 \leq V_x \leq 1.0 \quad , \quad -1.0 \leq V_y \leq 1.0 \quad , \quad -1.0 \leq V_\theta \leq 1.0 \quad (3.2)$$

A cada iteração dois vetores  $T$ , de transferência, e  $R$ , de rotação, de cada pé são obtidos. Para o pé direito, utiliza-se o  $t$  corrente no relógio central, já à perna esquerda um atraso de fase de  $\pi/2$  é inserido.

A equação 3.3 mostra a definição de dos vetores  $T$  e  $R$ . Cada um de seus elementos representam um eixo dentro deles e são gerados pelas trajetórias que são detalhadas na seção 3.2.

$$T = [Foot_x, \quad Foot_y, \quad Foot_z], \quad R = [Foot_{roll}, \quad Foot_{pitch}, \quad Foot_{yaw}] \quad (3.3)$$

Em poder desses vetores, utiliza-se os conceitos da cinemática inversa para gerar os ângulos de cada junta. Finalmente, os ângulos gerados são enviados aos motores – como especificado na subseção ?? – e, por fim, a iteração é finalizada.

### 3.1 Orientação

Durante a implementação deste trabalho, nenhuma modificação foi realizada no componente de orientação originalmente desenvolvido por Kamiri *et al.* Entretanto, para a implementação do cálculo da trajetórias é necessário algumas informações sobre a saída deste componente.

No final do processamento, obtém-se como saída um vetor com de aceleração linear nos eixos  $x$  e  $y$ , como mostra a equação 3.4. Então, o vetor *Accel* é utilizado para o cálculo da detecção de “empurrões”, ou distúrbios, como visto nas equações 3.5 e 3.6, que representação a variação na aceleração linear entre a iteração atual e a anterior.

$$Accel = [Accel_x \quad Accel_y] \quad (3.4)$$

$$Push_x = Accel[x]_t - Accel[x]_{t-1} \quad (3.5)$$

$$Push_y = Accel[y]_t - Accel[y]_{t-1} \quad (3.6)$$

### 3.2 Geração da trajetória

Como afirmado anteriormente, a trajetória define a posição e rotação de ambos os pés de Arash durante cada momento do ciclo de caminhada, gerando como saída dois vetores  $T$  e  $R$ , como definido na equação 3.3. Kamiri *et al* definem as funções que determinam cada eixo dos vetores, da equação 3.7 até 3.12.



$$Foot_x = \left( \frac{-\cos(t) + 1}{2} \right) \times \left( \frac{\tanh(V_x + Push_x) + H_{leg}}{\pi} \right) \quad (3.7)$$

$$Foot_y = ((-\sin(t) \times B_{swing}) + (\cos(t) + 1)) \times \left( \frac{\tanh(V_y + Push_y) + H_{leg}}{2\pi} \right) \quad (3.8)$$

$$Foot_z = \left( \frac{\sin(t)}{t + 1/2} \right) \times \left( \frac{\tanh(V_x + V_y) \times H_{leg}}{\pi} \right) \quad (3.9)$$

$$Foot_{roll} = 0 \quad (3.10)$$

$$Foot_{pitch} = 0 \quad (3.11)$$

$$Foot_{yaw} = \left( \frac{\sin(V_\theta) + 1}{2} \right) \times \left( \frac{-\cos(t) + 1}{2} \times V_\theta \right) \quad (3.12)$$

Onde  $t$  representa o tempo atual normalizado em cada ciclo;  $B_{swing}$  representa a quantidade de compensação de balanço lateral que o corpo deve efetuar para compensar a dinâmica do movimento das pernas;  $Push$  – definido na seção 3.1 – é a quantidade de distúrbio causado por desvios na trajetória; por fim,  $H_{leg}$  é o valor do tamanho da perna, extraído da estrutura do robô.

Nota-se que as funções  $Foot_{roll}$  e  $Foot_{pitch}$  são definidas como 0 pois, em resultados experimentais, os efeitos durante a caminhada mostraram-se desprezíveis (KARIMI; SADEGHNEJAD; BALTES, 2016).

### 3.3 Cinemática Inversa

Descobrir a posição de uma parte do robô a partir dos ângulos de suas juntas, *forward kinematics*, é uma tarefa fácil e pode ser realizada eficientemente. Porém, o oposto – dado um ponto e calcular os ângulos das juntas que o alcancem; processo conhecido como IK (do inglês *inverse kinematics* ou cinemática inversa) – não é uma tarefa tão simples.

Enquanto a problemas envolvendo a *forward kinematics* possuem uma solução única, na *IK* podem haver múltiplas soluções ou nenhuma (SPONG; HUTCHINSON; VIDYASAGAR, 2005). Pode-se observar este fato ao tocar a ponta do próprio nariz, já que existem diversas combinações de posições do ombro, cotovelo, pulso e falanges que resolvem este problema; Entretanto, usando as configurações de braço de um Tiranossauro o problema não teria solução, uma vez que o braço é demasiado curto para efetuar tal tarefa.

Aplicando a teoria da cinemática inversa ao problema proposto, Kamiri *et al* apresenta uma solução direta aproveitando-se das limitações impostas pela configuração das juntas

de Arash.

$$P = [Hip_{yaw}, Hip_{roll}, Hip_{pitch}, Knee, Foot_{pitch}, Foot_{roll}] = iK(T, R) \quad (3.13)$$

Na equação 3.13, vemos a definição do vetor  $P$  que mantém os valores dos ângulos de todas as juntas. Ele é a saída da função  $iK$  que recebe como parâmetros os vetores  $T$  e  $R$  já definidos na equação 3.3.

O processo de formulação das equações inicia-se a partir do nó principal do quadril descendo para o fim da cadeia, nos pés; onde encontra-se o fim da cadeia e o ponto de destino.

Na primeira etapa, a figura 4 mostra uma tomada de cima de Arash auxiliando na visualização da equação 3.14. Nota-se que, embora os pés de Arash não possuam rotação no eixo  $yaw$  (figura 2) a rotação  $yaw$  aplicada no quadril, afeta toda a cadeia.

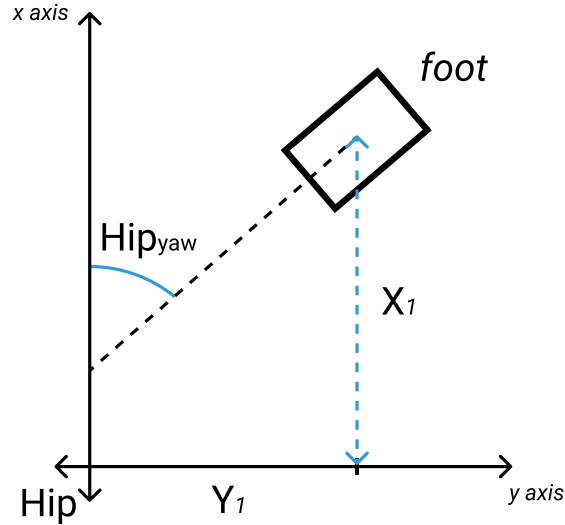


Figura 4: Diagrama da visão superior da estrutura de Arash que representa da equação 3.14 até 3.17

(KARIMI; SADEGHNEJAD; BALTES, 2016)

$$P[Hip_{yaw}] = R_{yaw} \quad (3.14)$$

$$X_2 = T_x \cos(R_{yaw}) + T_y \sin(R_{yaw}) \quad (3.15)$$

$$Y_2 = -T_x \sin(R_{yaw}) + T_y \cos(R_{yaw}) \quad (3.16)$$

$$Z_2 = T_z \quad (3.17)$$

Seguindo o processo de parametrização dos ângulos das juntas, observa-se na figura 5 a visão frontal de Arash provendo uma visualização geométrica das equações 3.18 até 3.22. Nesta figura observa-se, também, o movimento no eixo *roll* do quadril sendo compensado pelo movimento no sentido oposto (mas no mesmo eixo) do pé, afim de compensar o alinhamento do pé com o piso.

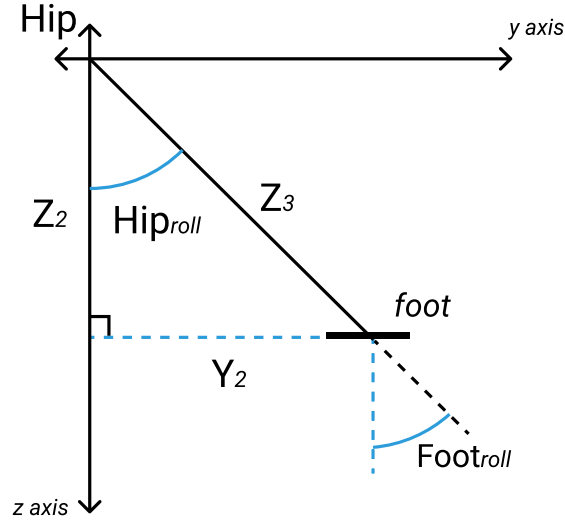


Figura 5: Diagrama da visão frontal de Arash que representa da equação 3.18 até 3.22  
(KARIMI; SADEGHNEJAD; BALTES, 2016)

$$P[Hip_{roll}] = atan\left(\frac{Y_2}{Z_2}\right) \quad (3.18)$$

$$P[Foot_{roll}] = -P[Hip_{roll}] + R_{roll} \quad (3.19)$$

$$X_3 = X_2 \quad (3.20)$$

$$Y_3 = Y_2 \quad (3.21)$$

$$Z_3 = \sqrt{Y_2^2 + Z_2^2} \quad (3.22)$$

Na terceira etapa, a figura 5 mostra a visão frontal de Arash, também, provendo uma visualização geométrica das equações 3.18 até 3.22.

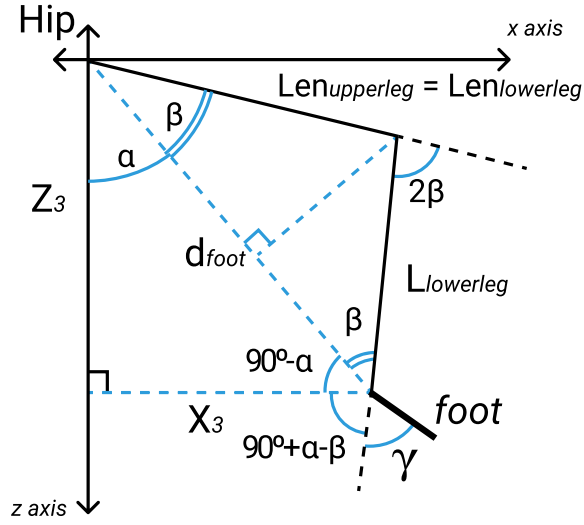


Figura 6: Diagrama da visão lateral de Arash que representa da equação 3.18 até 3.22

(KARIMI; SADEGHNEJAD; BALTES, 2016)

$$d_{foot} = \sqrt{Z_3^2 + X_3^2} \quad (3.23)$$

$$\alpha = \text{atan}\left(\frac{X_3}{Z_3}\right) \quad (3.24)$$

$$\beta = \text{acos}\left(\frac{d_{foot}}{2 \times Leg_{len}}\right) \quad (3.25)$$

$$P[Hip_{pitch}] = \alpha + \beta \quad (3.26)$$

$$P[Knee] = -2\beta \quad (3.27)$$

$$P[Foot_{pitch}] = \gamma = -\alpha + \beta + R_{pitch} \quad (3.28)$$

Adicionalmente, a cada junta é somado um parâmetro de deslocamento – não incluso nas equações de *IK* –, também conhecido como *offset*, para compensar possíveis erros provenientes de desalinhamentos no momento de montagem do robô, ou folgas nas engrenagens dos atuadores.

Finalmente, com as equações de *IK* definidas, o *walking gait*, com o auxílio dos componentes de orientação e *proxy*, é apto a fazer os cálculos necessários para determinar os movimentos de caminhada.

## 4 Arquitetura

Inicialmente, a arquitetura adotada pelo time AUT-UofM é uma arquitetura distribuída, baseada no *framework* ROS . Como a robótica tenta solucionar problemas em diversas áreas da computação. Desde o controle de motores, usando programação de baixo nível, até soluções sofisticadas utilizando IA (Inteligência artificial) aplicada a visão e tomada de decisões, entre outros.

Assim, o desenvolvimento de uma única ferramenta, em uma única linguagem, que solucione todos os problemas pode tornar-se inviável, já que linguagens diferentes são projetadas com intenções diferentes e problemas diferentes em mente.

Desta forma, este capítulo divide cada subsistema dentro do robô como componentes apresentando suas funções antes e após implementadas as mudanças propostas pelo trabalho em suas diferentes camadas de execução. Alguns deles são mais detalhados e descritos em seus módulos, apresentando alguns fluxogramas e diagramas afim de expressar melhor seu funcionamento.

### 4.1 Componentes e arquitetura atual

A arquitetura do sistema pode ser abstraída em 3 camadas: A camada de *hardware*, a de software de baixo nível, e a de software.

Na camada de *hardware*, a mais inferior na figura 7, estão contidos os componentes físicos do sistema. Uma câmera *Webcam Logitech C920 Pro HD 15MP Full HD1080p* é usada para fornecer imagens para o sistema de visão. Uma IMU , do inglês *Inertia Measurement Unit*, é usada para fornecer informações para o posterior cálculo da orientação do corpo do robô em relação ao eixo de gravidade. E os motores, também chamados de atuadores, são utilizados nas juntas para os movimentos às partes do robô.

A camada de software de baixo nível é responsável pelo processamento de dados da IMU, juntamente com a execução do *walking gait*. Esta camada roda dentro da placa

microcontroladora *Robotis.Co OpenCM9.04*, ou simplesmente *OpenCM9.04*.

A placa controladora conta com um processador *32bit ARM Cortex-M3*, memória *flash* (que mantém os dados mesmo quando desligada) de 128Kb e 20Kb de *SRAM* (ROBOTIS, 2016). A placa tem seu projeto e código fonte abertos e foi utilizada a *Arduino IDE* como ambiente de desenvolvimento. Ela conecta-se ao controlador principal via USB, por onde há a comunicação. Adicionalmente, devido ser produzida pela mesma empresa, a placa integra-se perfeitamente com os motores utilizados no projeto de Arash.

Os motores de Arash, todos pertencentes a categoria *Dynamixel*, são atuadores inteligentes otimizados para robôs. Eles possuem controle PID integrado e comunicam-se em uma rede de comunicação TTL (*transistor-transistor logic*) com *baudrate* de até 4.5 Mbps (ROBOTIS, 2017).

A camada de software é executada dentro de um computador, doravante referido como controlador principal, *mini-box PC MAXData QutePC-3001* com um processador 64 bits de dois núcleos Intel® Celeron® 847E (1,1GHz e 2MB de *cache*), rodando o sistema operacional Linux Ubuntu versão 14.04. Esta camada é responsável por rodar os componentes de software de alto nível e enviar comandos de controle para a camada inferior de baixo nível.

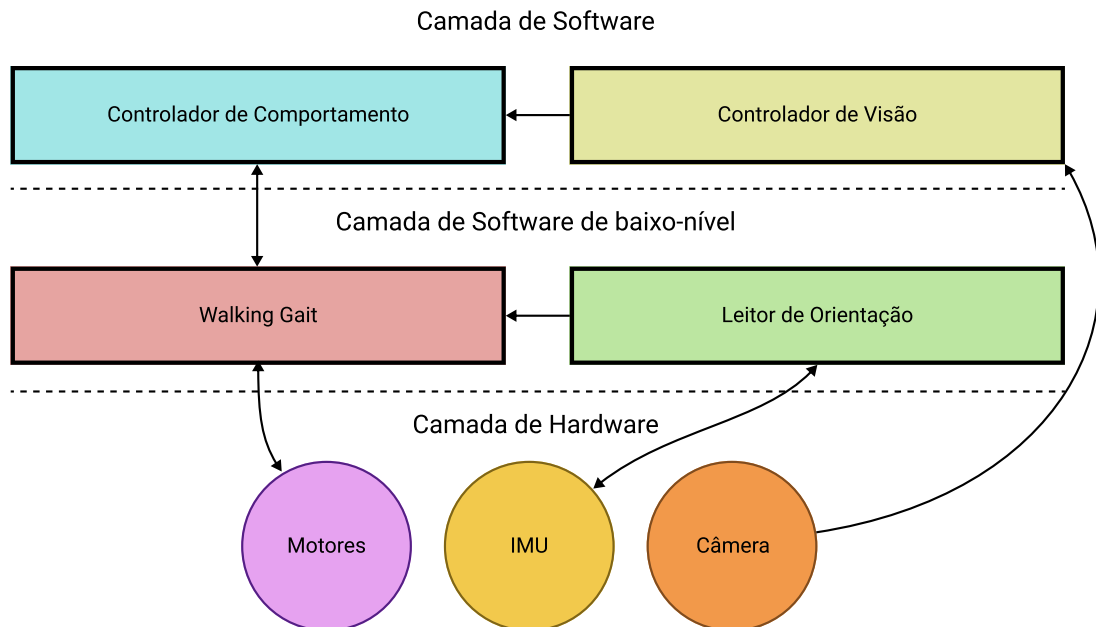


Figura 7: Visão simplificada da arquitetura do sistema e seus fluxos.

A figura 7 mostra uma visão simplificada dos principais componentes – e o sentido do fluxo de dados entre eles – envolvidos no processo qualquer tarefa genérica. O funcionamento de cada componente individual será detalhado nas próximas seções.

### 4.1.1 Visão

Visão não é o foco deste trabalho. Entretanto, uma explicação geral é necessária afim de melhor entender o funcionamento geral do sistema.

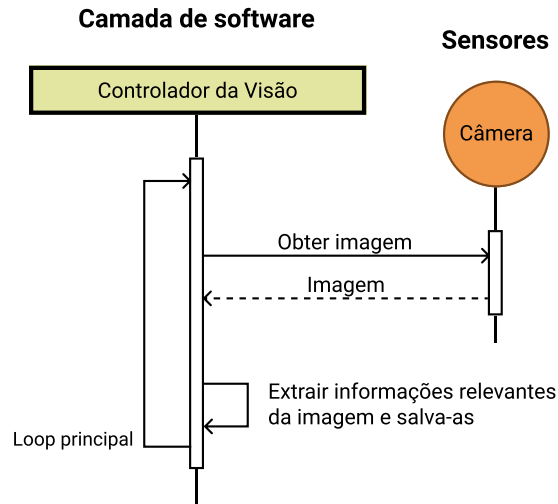


Figura 8: Diagrama de sequência do componente de visão.

O controle de visão é um software que conecta-se via USB com a câmera, analisando as imagens e extraindo informações relevantes à execução da tarefa do robô. De forma geral, podemos abstrair seu funcionamento em duas *threads* distintas:

A primeira é o *loop* principal, representada no diagrama de sequência na figura 8. Em um primeiro passo, o controlador obtém a imagem da câmera. Em seguida, a extração de informações é realizada. Esse processo depende da tarefa que o robô deve realizar; tais como detectar a bola, os adversários e as linhas do campo, em caso de futebol ou detectar as linhas guia da pista de corrida no caso da maratona. Em seguida, tudo o que foi encontrado é salvo para futuras consultas até que a próxima iteração ocorra e os dados sejam atualizados.

A segunda *thread*, visualizada na figura 9, do controle de visão executa o sistema de comunicação que pode ser implementado de várias maneiras, desde objetos *JSON* sendo transmitidos via *UDP* até um *message broker* com filas de consumo. Ao receber a mensagem de solicitação das informações, responde serializando os dados que ficaram salvos na primeira *thread*, fornecendo as informações com atraso mínimo.

### 4.1.2 Controlador de Comportamento

O controlador de comportamento, que roda na camada de *software*, implementa a tarefa que deve ser realizada pelo robô. Ele funciona como um gerente que coordena outros componentes, recebendo informações e enviando comandos com ações específicas serem a executadas. Na figura 9 é possível observar a sequência de passos realizados pelo controlador de comportamento.

Usando como exemplo uma partida de futebol, na figura 9 observa-se o controlador de comportamento “jogador” consultando o componente de visão, que responde a posição da bola, previamente obtida durante o processo da figura 8. Em seguida, baseado nessas informações o comportamento envia o comando ao *walking gait* para caminhar na direção correta.

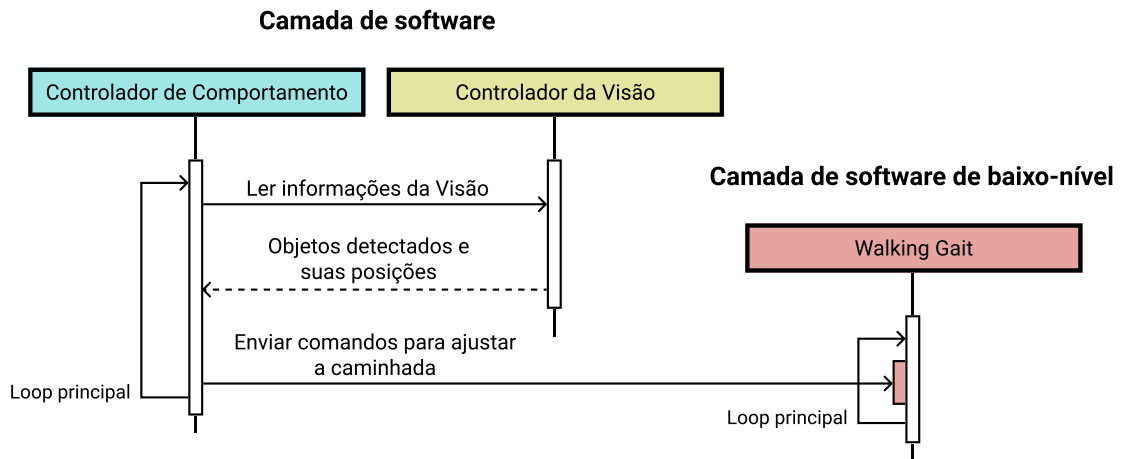


Figura 9: Diagrama de sequência do controlador de comportamento e suas dependências.

### 4.1.3 *Walking Gait* e Leitor de Orientação

O componente *walking gait* coordena e executa a caminhada. Ele monitora a USB aguardando os comandos de controle que contém as velocidades da caminhada, enviados a partir do controlador principal.

O componente leitor de orientação desempenha um papel importante ao lado do *walking gait*. Ele é o responsável pela verificação da orientação da rotação do torso – uma vez que a *IMU* está situada nas costas de Arash – assim fornecendo dados para o *walking gait* fazer correções durante a caminhada afim de compensar um eventual distúrbio.

No componente leitor de orientação, os dados são coletados da *IMU* e um processo de utilizando filtro de *Kalman* é utilizado para obter ua estimativa mais acurada das

Explicar  
este  
pro-  
cesso



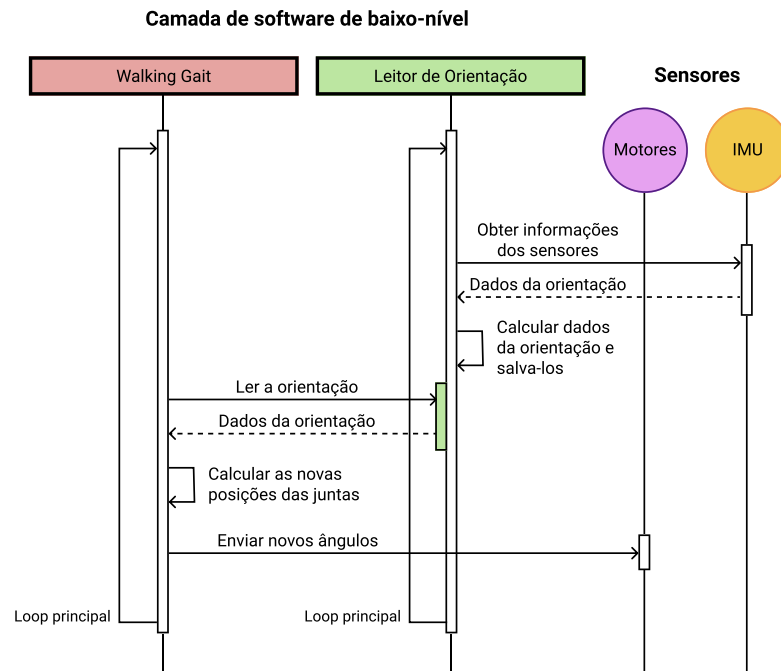


Figura 10: Diagrama de sequência do *walking gait* e do leitor de orientação.

orientações que são salvas em variáveis. Já na *thread* que roda o *walking gait*, a orientação é continuamente consultada e utilizada para que os ângulos das juntas sejam atualizados.

Dentro da placa microcontroladora *OpenCM9.04*, o *walking gait* e o leitor de orientação rodam em *threads* distintas, recurso este habilitado pela biblioteca *MapleFreeRTOS*.

Na figura 10 observa-se a execução de ambas as *threads* separadamente e a forma de interação entre elas. Iniciando a partir do *walking gait*, ele lê os dados de orientação diretamente do leitor de orientação, em seguida calcula as posições das juntas que são enviadas aos motores. Em paralelo, o leitor de orientação continua recebendo os dados da *IMU*, processando e salvando-os para que fiquem disponíveis ao *walking gait*. Nota-se que, em ambas as *threads*, as sequências de ações são executadas dentro de *loops* principais, já que este é um processo iterativo e contínuo.

## 4.2 A nova arquitetura

De acordo com os problemas e solução já discutidos em seções anteriores, esta seção irá apresentar as mudanças realizadas na arquitetura original apresentada na seção ??.

Uma das principais mudanças realizadas neste trabalho é a re-implementação do *walking gait*. Para tanto, ainda faz-se necessário a utilização da *OpenCM9.04*. Desta vez, ela assume o papel de reencaminhar os dados dos ângulos aos motores e, ainda, fornecer

os dados de orientação ao *walking gait*.

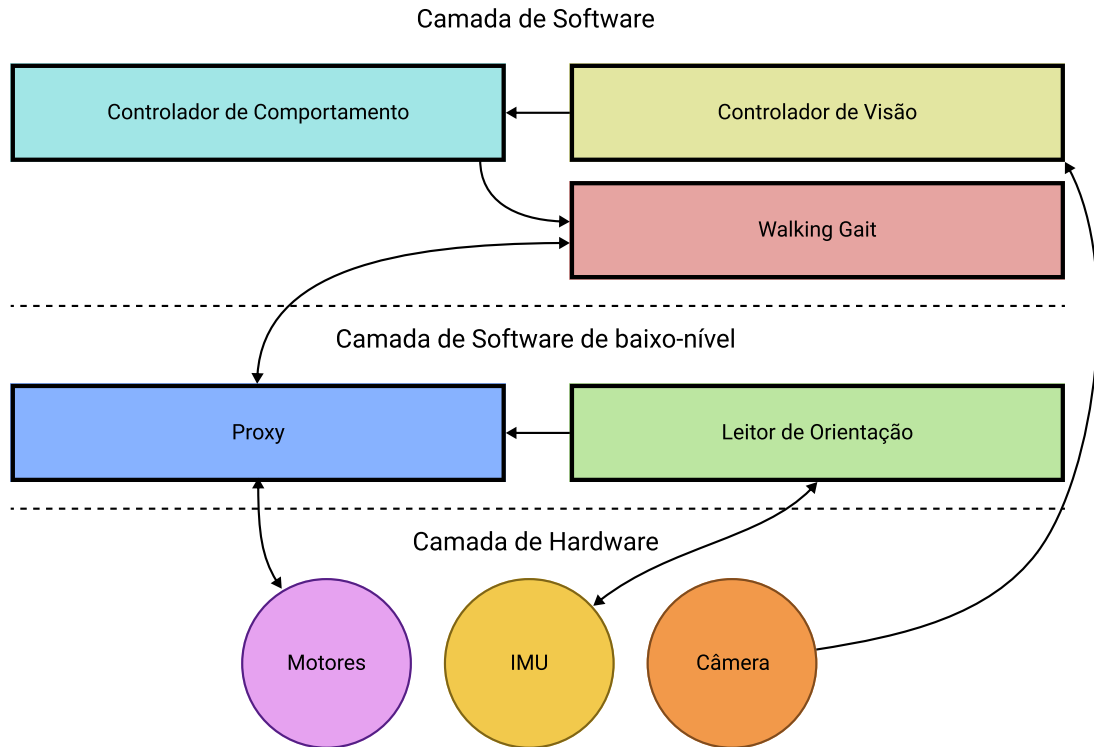


Figura 11: Diagrama de orientação dos atuadores de Arash.

A figura 11 mostra a visão simplificada da nova arquitetura. Nela observa-se o *walking gait* – agora na camada de *software* – funcionando dentro do controlador principal, e um novo componente chamado *proxy* é apresentado como interface os componentes de *hardware* e o *walking gait*. O papel do novo componente é de servir realmente como um *proxy* enviando comandos recebidos do controlador principal aos motores e também receber a orientação do componente leitor de orientação e fornecê-la ao controlador principal.

O controlador de comportamento continua a enviar os comandos de controle ao *walking gait*. Porém, ao invés de usar comandos binários via USB, agora utiliza objetos serializados via JSON via rede.

Entre o *walking gait* e o *proxy* a comunicação ocorre via USB @ 1 Mbps. Comandos de controle utilizando o *dynamixel protocol 1.0* são gerados e enviados diretamente do *walking gait* ao *proxy*, que apenas os encaminha aos motores. Esta estratégia foi adotada para habilitar a possibilidade da utilização de motores de diferentes tipos, não apenas da Robotis Co. Assim, apenas o *walking gait* é responsável pela geração de destes comandos específicos de cada motor enquanto o *proxy* apenas os encaminha.

Na camada de software de baixo nível, o leitor de orientação continua a fornecer os dados de orientação. Porém, ao invés do *walking gait* acessá-los diretamente, o *proxy*

Especif  
esses  
co-  
man-  
dos  
na  
se-  
ção  
onde  
fala  
so-  
bre  
esses

encarrega-se de disponibiliza-los ao *walking gait*.

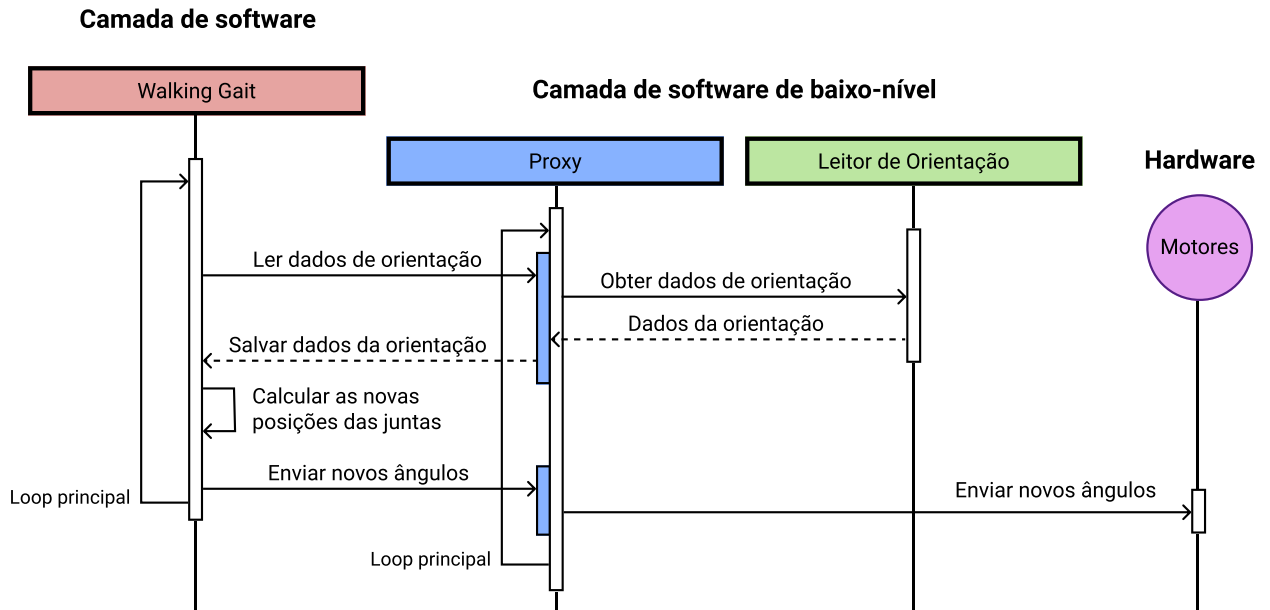


Figura 12: Diagrama de sequência simplificado com as modificações na arquitetura.

Na figura 12, é possível observar o diagrama de sequência com os componentes que foram atingidos pela mudança na arquitetura. O *walking gait* lê os dados de orientação, calcula as novas posições das juntas e envia os novos ângulos ao *proxy*, então inicia o processo do início. O *proxy* obtém os dados de orientação diretamente do leitor de orientação, em seguida os fornece ao *walking gait*.

### 4.3 *Walking gait*

Nesta seção detalhes arquiteturais da implementação do *walking gait* são descritos.

Ao realizar a nova implementação do *walking gait*, uma mudança completa de paradigma foi realizada, do paradigma estruturado ao orientado a objetos. Afim de facilitar o desenvolvimento, o projeto foi dividido em 3 submódulos: o servidor de controle, o motor de caminhada e o atualizador de juntas.

Para realizar a tarefa de forma adequada, o componente faz uso de multi-processamento. Três *threads* dentro do componente são responsáveis por tarefas específicas essenciais ao complemento do comportamento geral da caminhada: A *thread* de rede, a *thread* atualização dos motores e a *thread* principal.

Conferir a quantidade de submódulo

Verificar a lo-

### 4.3.1 Servidor de controle

O servidor de controle é um submódulo que implementa a interface de comunicação do *walking gait* a outros componentes do sistema. De fato, todo o gerenciamento da caminhada pode ser realizada a partir de um único comando que atualizam as velocidades  $V_x$ ,  $V_y$  e  $V_\theta$ .

```

1 {
2   "command": "omniwalk",
3   "params":
4   {
5     "x": 0.3, // Opcional: Velocidade no eixo X
6     "y": 0.6, // Opcional: Velocidade no eixo Y
7     "theta": 0.0 // Opcional: Velocidade no eixo teta
8   }
9 }
```

Figura 13: Comando de controle exemplo em JSON.

Para tal tarefa, adotou-se uma solução simplista que consiste em receber objetos serializados *JSON* através de um servidor *UDP*, principalmente por causa de sua rápida implementação.

Sabe-se que o protocolo *UDP* não garante a integridade, nem a ordem, da entrega dos dados. Todavia, a aplicação inteira roda dentro da rede de *loopback* garantindo a garantia dos pacotes. Para este caso específico, a não verificação dos pacotes pelo protocolo *UDP*, reverte-se em vantagem já que não há o atraso de tempo necessário para sincronizar as duas pontas da comunicação. Além disso, esta abordagem aproveita-se da filosofia *zero-copy* adotada pelo *kernel* do Linux (TIANHUA et al., 2008) que evita fazer cópia dos *buffers* das mensagens recebidas via rede, desde o *driver* de rede até a entrega na aplicação.

Na figura 13 é a propriedade *command* que identifica a intenção do comando de alterar os parâmetros da caminhada. A propriedade *params* indica um sub-objeto *JSON* com as propriedades *x* equivalente a  $V_x$ , *y* equivalendo a  $V_y$  e *theta* representando  $V_\theta$ . Todas as propriedades são opcionais, e caso não sejam informadas, nenhuma modificação será feita naquele eixo específico.

Em caso de intenção de parada, o mesmo comando *omniwalk* deverá ser enviado porém com todas as velocidades com valor 0.0.

### 4.3.2 Motor de caminhada

O motor de caminhada é onde encontram-se todas as implementações do cálculo das juntas.

A classe *Humanoid* é usada para a manter o estado das juntas, tanto posição quanto angulações. Ela também é usada para manter os estados das juntas durante os cálculos da *IK*.

Encher  
este  
pa-  
rá-  
grafo

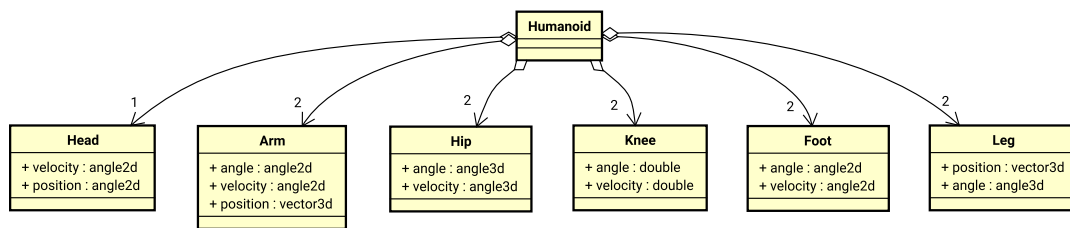


Figura 14: Diagrama de domínio do *walking gait*.

A figura 14 mostra o diagrama de domínio das classes mais relevantes aos dados que o componente manipula. Observa-se todas as composições envolvidas na definição da classe *Humanoid* é uma agregação de diversas outras classes que representam cada parte de Arash. É possível também observar que nas classes *Head*, *Arm*, *Hip*, *Knee*, *Foot* existem dados ângulo e velocidade. Isso se dá por causa que componente utiliza essas informações para calcular o próximo estado do sistema em caso de algum distúrbio. Nota-se também, que a classe *Leg* aparece de forma ambígua, já que existem as definições de *Hip*, *Knee* e *Foot*. Porém, a classe *Leg*, representa os dados da cinemática inversa de uma perna, enquanto as demais classes guardam o estado atual das partes que representam.

Ainda na figura 14, nota-se a notação dos dados utilizados: *angle2d*, *angle3d* e *vector3d*. Estes tipos possuem o sufixo numérico, que indica a quantidade de dimensões aquela classe guarda, e a letra, que indica o tipo de dado, no caso *d* é referente a *double*. Para ângulos, 2 dimensões significa que os eixos de rotação *pitch* e *roll* são guardados; já os ângulos com 3 eixos, as orientações *roll*, *pitch* e *yaw* são guardadas. Para vetores, os valores nas dimensões *x*, *y* e *z* são mantidos.

O processo de caminhada inicia-se no momento em que qualquer velocidade é diferente de zero. No momento que isso ocorre (ou seja, um comando de controle é recebido), a instância da classe *Robot*, doravante referida apenas como *robot*, através de seu método *omniGait*, faz uma transição entre a velocidade atual e a nova velocidade de forma suave. A medida que a velocidade é gradualmente alterada para seu novo valor, o relógio central é iniciado e o método *updateTrajectories* é chamado, calculando a trajetória (de acordo

com a seção 3.2) e estocando-a na variável de instância *humanoid*, do tipo *Humanoid*. Enfim, o método *update* de *Ik* é chamado para que execute os cálculos da cinemática inversa. O diagrama de sequência simplificado na figura 16 mostra este processo.

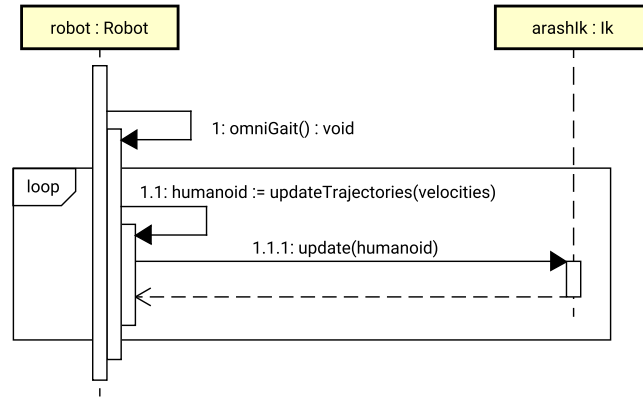


Figura 15: Diagrama de sequência simplificado do motor de caminhada.

### 4.3.3 Atualizador de juntas

Incompleto, em desenvolvimento.

Este módulo é responsável pela atualização dos ângulos dos motores. Ele roda em sua própria *thread*, afim de não bloquear o processamento do *walking gait*.

A implementação padrão do atualizador de juntas, usa uma abstração de motores afim de prover o uso de motores de diferentes fabricantes em futuras aplicações.

Como classe base, temos a classe *Actuator* que define a propriedade básica de todos os atuadores.

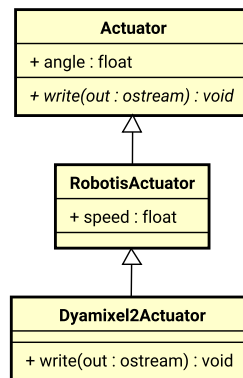


Figura 16: Fragmento do diagrama de classe da hierarquia dos atuadores.

Para a atualização dos dados, Para tanto, ele precisa comunicar-se com os o componente *Proxy* via USB. Assim, uma conexão é aberta com o dispositivo.

## 5 Capítulo 5

## 6 Considerações finais

### GUIA:

---

Comparar com os resultados das trajetória mostrados por Kamiri.

---

### GUIA:

---

Mostrar os frames da caminhada obtidos.

---

As considerações finais formam a parte final (fechamento) do texto, sendo dito de forma resumida (1) o que foi desenvolvido no presente trabalho e quais os resultados do mesmo, (2) o que se pôde concluir após o desenvolvimento bem como as principais contribuições do trabalho, e (3) perspectivas para o desenvolvimento de trabalhos futuros, como listado nos exemplos de seção abaixo. O texto referente às considerações finais do autor deve salientar a extensão e os resultados da contribuição do trabalho e os argumentos utilizados estar baseados em dados comprovados e fundamentados nos resultados e na discussão do texto, contendo deduções lógicas correspondentes aos objetivos do trabalho, propostos inicialmente.

### 6.1 Principais contribuições

Texto.

### 6.2 Limitações

Texto.



## 6.3 Trabalhos futuros

Texto.

# Referências

- CRAIG, J. J. *Introduction to Robotics: Mechanics and Control*. 2nd. ed. Boston, MA, USA: Addison-Wesley Longman Publishing Co., Inc., 1989. ISBN 0201095289.
- KAJITA, S.; ESPIAU, B. Legged robots. In: *Springer Handbook of Robotics*. [S.l.: s.n.], 2008. p. 361–389.
- KARIMI, M.; SADEGHNEJAD, S.; BALTES, J. *Online Omnidirectional Gait Modifications for a Full Body Push Recovery Control of a Biped Robot*. 2016.
- MILLER, W. T. Real-time neural network control of a biped walking robot. *IEEE Control Systems*, v. 14, n. 1, p. 41–48, Feb 1994. ISSN 1066-033X.
- ROBOTIS. *Robotis Support Page – OpenCM9.04*. 2016.  
Acessado em: 22 de abr. de 2017. Disponível em:  
<<https://web.archive.org/web/20161210121538/http://support.robotis.com/en/product/controller/opencm9.04.htm>>.
- ROBOTIS. *Dynamixel Selection Guide*. 2017. Aces-  
sado em: 22 de abr. de 2017. Disponível em:  
<[https://web.archive.org/web/20170310234926/http://en.robotis.com/index/product.php?cate\\_code=101310](https://web.archive.org/web/20170310234926/http://en.robotis.com/index/product.php?cate_code=101310)>.
- SADEGHNEJAD, S. et al. Aut-uofm humanoid teensize team. In: *Proceedings of RoboCup-2016 (Team Description Papers)*. Leipzig, Germany: [s.n.], 2016.
- SPONG, M.; HUTCHINSON, S.; VIDYASAGAR, M. *Robot Modeling and Control*. [S.l.]: Wiley, 2005. ISBN 9780471649908.
- TIANHUA, L. et al. The design and implementation of zero-copy for linux. In: *Proceedings of the 2008 Eighth International Conference on Intelligent Systems Design and Applications - Volume 01*. Washington, DC, USA: IEEE Computer Society, 2008. (ISDA '08), p. 121–126. ISBN 978-0-7695-3382-7. Disponível em:  
<<http://dx.doi.org/10.1109/ISDA.2008.102>>.

## APÊNDICE A – Primeiro apêndice

Os apêndices são textos ou documentos elaborados pelo autor, a fim de complementar sua argumentação, sem prejuízo da unidade nuclear do trabalho.

## ANEXO A – Primeiro anexo

Os anexos são textos ou documentos não elaborado pelo autor, que servem de fundamentação, comprovação e ilustração.

# 

Normalizar todas as nomenclaturas do <i>walking gait</i> , as vezes chama-se sistema, as vezes chama-se componente. . . . .	p. 13
Introduzir a expressão <i>walking gait</i> . . . . .	p. 14
Conversar com o orientador sobre a lista de objetivos. . . . .	p. 15
Melhorar a descrição dos objetivos. . . . .	p. 15
Conversar com o orientador sobre isto. . . . .	p. 15
Após conclusão escrever esta parte. . . . .	p. 16
Reescrever esta desgraça . . . . .	p. 17
Introduzir os conceitos de equilíbrio estático e dinâmico. . . . .	p. 17
Adicionar um parágrafo introdutório. . . . .	p. 18
Explicar este processo melhor . . . . .	p. 31
Especificar esses comandos na seção onde fala sobre esses comandos . . . . .	p. 33
Conferir a quantidade de submódulo . . . . .	p. 34
Verificar a localidade deste parágrafo. Ele foi escrito mas parece estar fora do lugar além de duplicar informações. . . . .	p. 34
Encher este parágrafo . . . . .	p. 36